



Оптимальная коммутируемая мощность
 Низкие динамические потери
 Малый заряд обратного восстановления
 Высокая стойкость к
 электротермоциклированию

Штыревой Быстровосста- навливающийся Диод Тип ДЧ271-400Х-14

Средний прямой ток	I_{FAV}		400 А				
Повторяющееся импульсное обратное напряжение	U_{RRM}		800...1400 В				
Время обратного восстановления	t_{rr}		3.2, 4.0, 5.0, 6.3 мкс				
U_{RRM} , В	800	900	1000	1100	1200	1300	1400
Класс по напряжению	8	9	10	11	12	13	14
T_j , °С	-60...150						

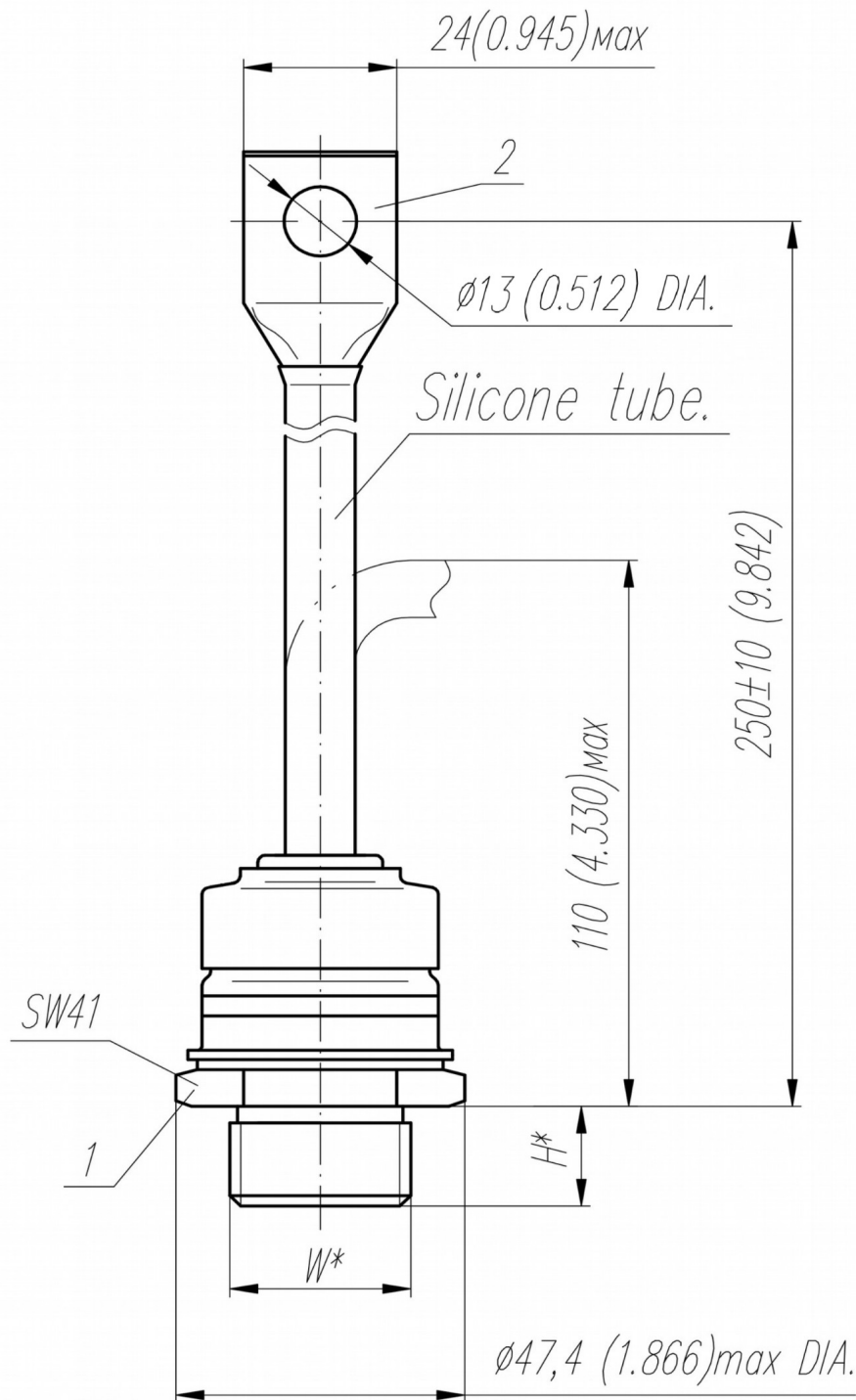
ПРЕДЕЛЬНО ДОПУСТИМЫЕ ЗНАЧЕНИЯ ПАРАМЕТРОВ

Обозначение и наименование параметра		Ед. изм.	Значение	Условия измерения	
Параметры в проводящем состоянии					
I_{FAV}	Максимально допустимый средний прямой ток	А	400 552	$T_c=90\text{ °С};$ $T_c=55\text{ °С};$ 180 эл. град. синус; 50 Гц	
I_{FRMS}	Действующий прямой ток	А	628	$T_c=90\text{ °С};$ 180 эл. град. синус; 50 Гц	
I_{FSM}	Ударный ток	кА	10.5 12.0	$T_j=T_{j\max}$ $T_j=25\text{ °С}$	180 эл. град. синус; $t_p=10\text{ мс};$ единичный импульс; $U_R=0\text{ В}$
			11.0 12.5	$T_j=T_{j\max}$ $T_j=25\text{ °С}$	180 эл. град. синус; $t_p=8.3\text{ мс};$ единичный импульс; $U_R=0\text{ В}$
I^2t	Защитный показатель	$A^2s \cdot 10^3$	550 720	$T_j=T_{j\max}$ $T_j=25\text{ °С}$	180 эл. град. синус; $t_p=10\text{ мс};$ единичный импульс; $U_R=0\text{ В}$
			500 640	$T_j=T_{j\max}$ $T_j=25\text{ °С}$	180 эл. град. синус; $t_p=8.3\text{ мс};$ единичный импульс; $U_R=0\text{ В}$
Блокирующие параметры					
U_{RRM}	Повторяющееся импульсное обратное напряжение	В	800...1400	$T_{j\min} < T_j < T_{j\max};$ 180 эл. град. синус; 50 Гц	
U_{RSM}	Неповторяющееся импульсное обратное напряжение	В	900...1500	$T_{j\min} < T_j < T_{j\max};$ 180 эл. град. синус; единичный импульс	
U_R	Постоянное обратное напряжение	В	$0.6 \cdot U_{RRM}$	$T_j = T_{j\max}$	
Тепловые параметры					
T_{stg}	Температура хранения	°С	-60...50		
T_j	Температура р-п перехода	°С	-60...150		
Механические параметры					
M	Крутящий момент затяжки	Нм	25...35		
a	Ускорение	м/с ²	100		

ХАРАКТЕРИСТИКИ

Обозначение и наименование характеристики		Ед. изм.	Значение	Условия измерения
Характеристики в проводящем состоянии				
U_{FM}	Импульсное прямое напряжение, макс	В	2.30	$T_j=25\text{ }^\circ\text{C}; I_{FM}=1256\text{ А}$
$U_{F(TO)}$	Пороговое напряжение, макс	В	1.195	$T_j=T_{j\text{ макс}};$ $0.5 \pi I_{FAV} < I_T < 1.5 \pi I_{FAV}$
r_T	Динамическое сопротивление, макс	МОм	0.811	
Блокирующие характеристики				
I_{RRM}	Повторяющийся импульсный обратный ток, макс	мА	70	$T_j=T_{j\text{ макс}};$ $U_R=U_{RRM}$
Динамические характеристики				
Q_r	Заряд восстановления, макс	мкКл	350	$T_j=T_{j\text{ макс}}; I_{FM}=I_{FAV};$ $di_R/dt=-100\text{ А/мкс};$ $U_R=100\text{ В}$
t_{rr}	Время обратного восстановления, макс	мкс	3.2, 4.0, 5.0, 6.3	
I_{rr}	Обратный ток восстановления, макс	А	220	
Тепловые характеристики				
R_{thjc}	Тепловое сопротивление р-п переход-корпус, макс	$^\circ\text{C/Вт}$	0.0750	Постоянный ток
Механические характеристики				
m	Масса, макс	г	410	
D_s	Длина пути тока утечки по поверхности	мм (дюйм)	12.4 (4.882)	
D_a	Длина пути тока утечки по воздуху	мм (дюйм)	12.4 (4.882)	

МАРКИРОВКА							ГРУППА ПО ВРЕМЕНИ ОБРАТНОГО ВОССТАНОВЛЕНИЯ				
ДЧ	271	400	X	14	K4	УХЛ2	Обозначение группы	K4	H4	E4	C4
1	2	3	4	5	6	7	t_{rr} , мкс	3.2	4	5	6.3
1. ДЧ — Быстровосстанавливающийся диод 2. Конструктивное исполнение 3. Средний прямой ток, А 4. Полярность: X – обратная; прямая - не указывается 5. Класс по напряжению 6. Группа по времени обратного восстановления 7. Климатическое исполнение по ГОСТ 15150: УХЛ2, Т2											



Тип Резьбы	W	H
Метрическая Резьба Тип С	M24x1.5 – 8g	19
Метрическая Резьба Тип В (по требованию)	M20x1.5 – 8g	15

Полярность	Пример маркировки	Условное обозначение	Цвета	
			Анод	Катод
Катод на основании	ДЧ271-400X-14	∇	Черная трубка	-

Все размеры в миллиметрах (дюймах)

Содержащаяся здесь информация является конфиденциальной и находится под защитой авторских прав. В интересах улучшения качества продукции, АО «Протон-Электротекс» оставляет за собой право изменять информационные листы без уведомления.

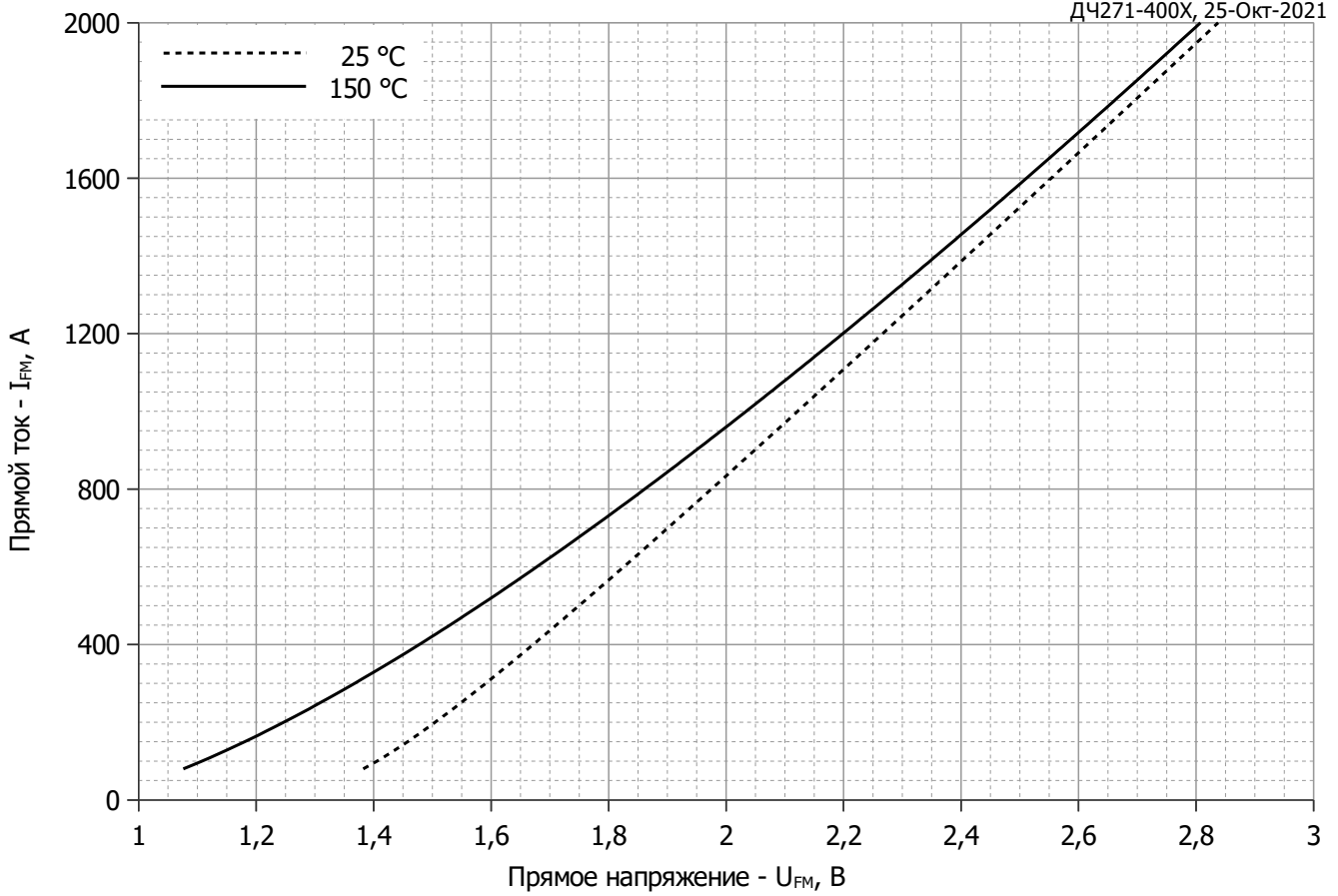


Рис. 1 – Предельная вольт–амперная характеристика

Аналитическая функция предельной вольт — амперной характеристики:

$$U_F = A + B \cdot i_F + C \cdot \ln(i_F + 1) + D \cdot \sqrt{i_F}$$

	Коэффициенты для графика	
	T _j = 25°C	T _j = T _{j max}
A	1.12323829	0.92406551
B	0.00069430	0.00041819
C	0.04812621	0.03164446
D	-0.00089827	0.02879215

Модель предельной вольт – амперной характеристики (см. Рис. 1).

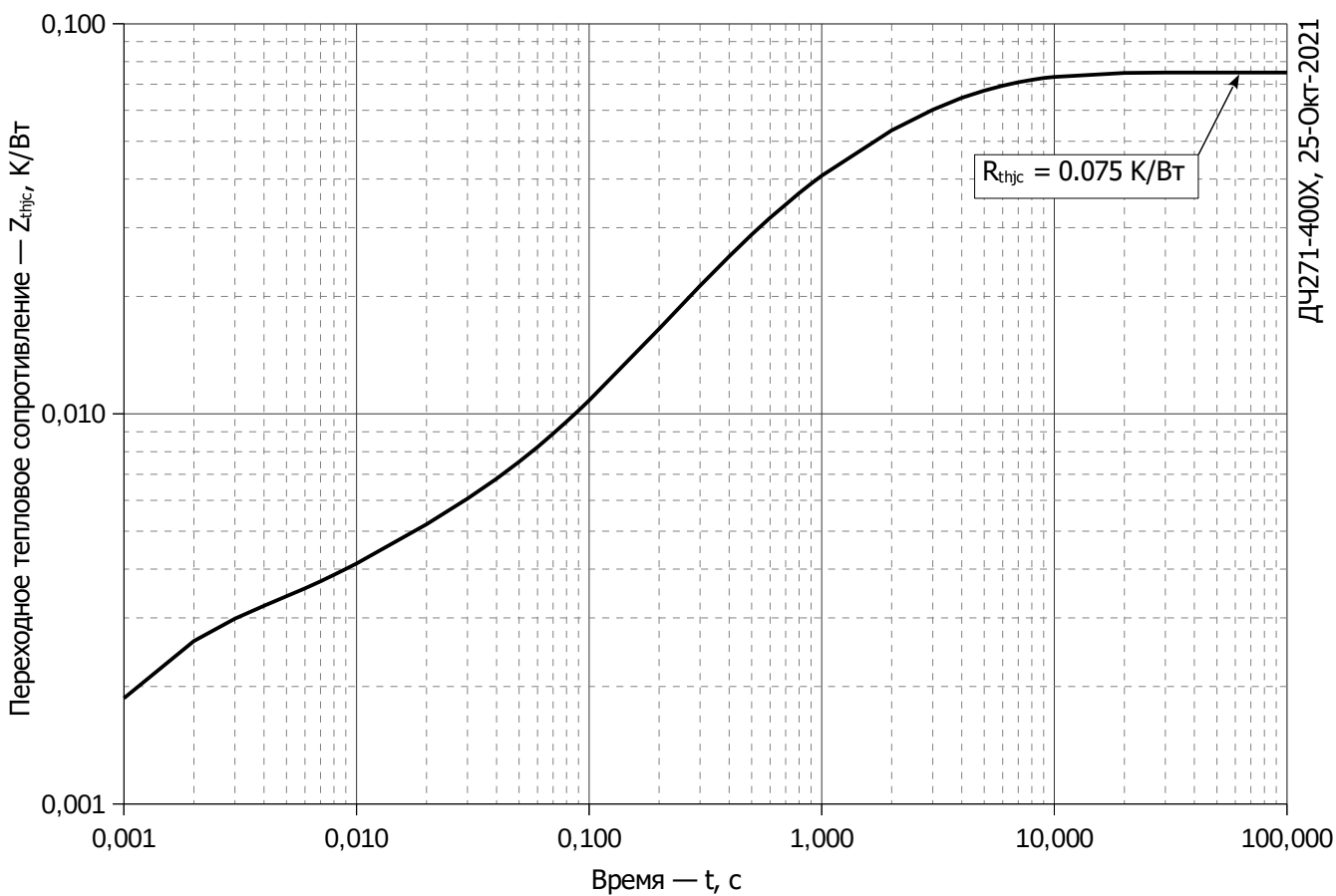


Рис. 2 – Зависимость переходного теплового сопротивления Z_{thjc} от времени t

Аналитическая зависимость переходного теплового сопротивления переход — корпус:

$$Z_{thjc} = \sum_{i=1}^n R_i \left(1 - e^{-\frac{t}{\tau_i}} \right)$$

Где $i = 1$ до n , n – число суммирующихся элементов.

t = продолжительность импульсного нагрева в секундах.

Z_{thjc} = Тепловое сопротивление за время t .

R_i, τ_i = расчетные коэффициенты, приведенные в таблице.

Постоянный ток

i	1	2	3	4	5	6
$R_i, \text{K/W}$	0.013357	0.02733	0.01495	0.001445	0.002488	0.01543
τ_i, c	4.627	2.249	0.3406	0.01043	0.0009112	0.9081

Модель переходного теплового сопротивления переход - корпус (см. Рис. 2)

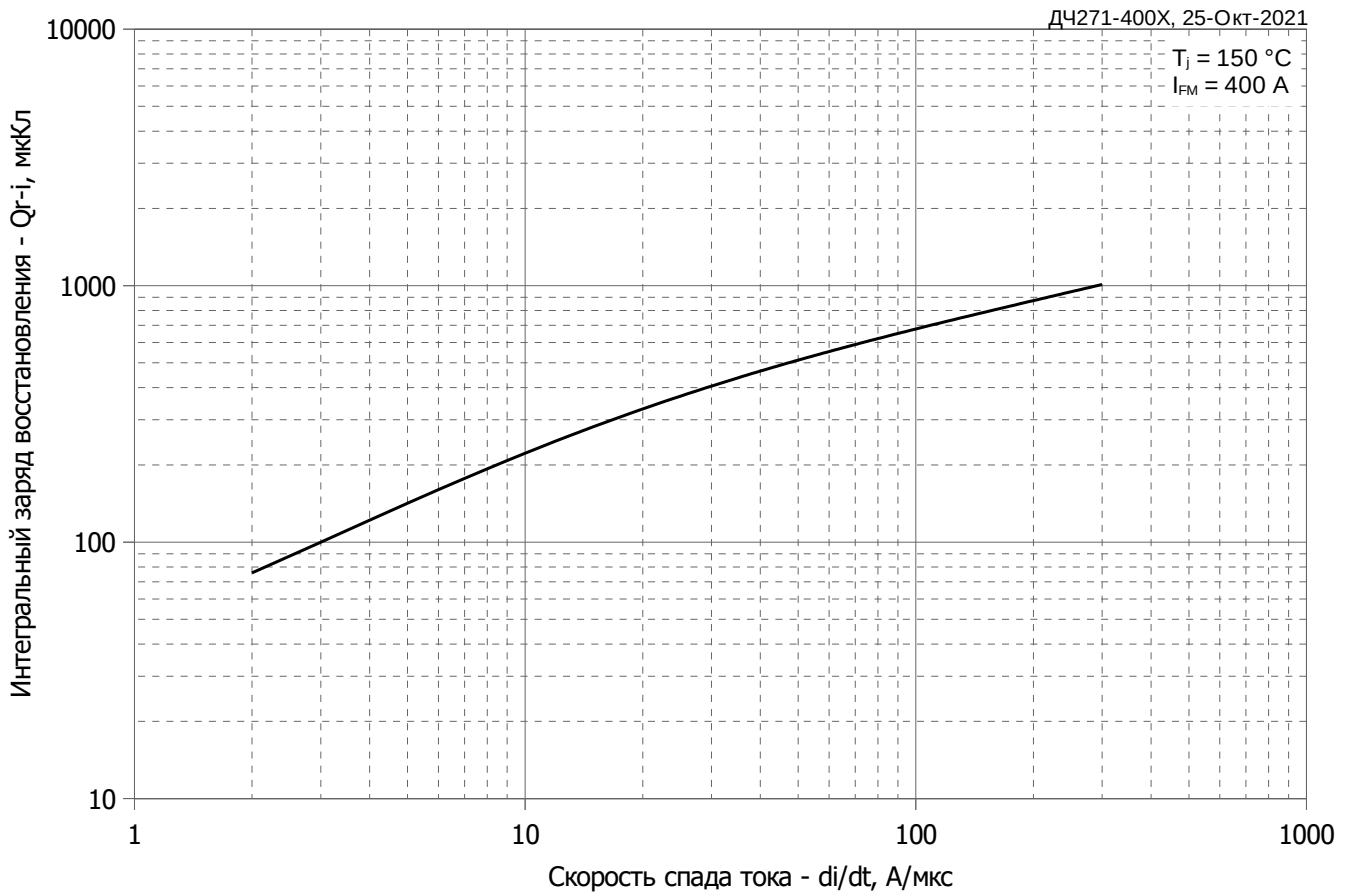


Рис. 3 – Зависимость максимального интегрального заряда восстановления Q_{r-i} от скорости спада прямого тока di_R/dt

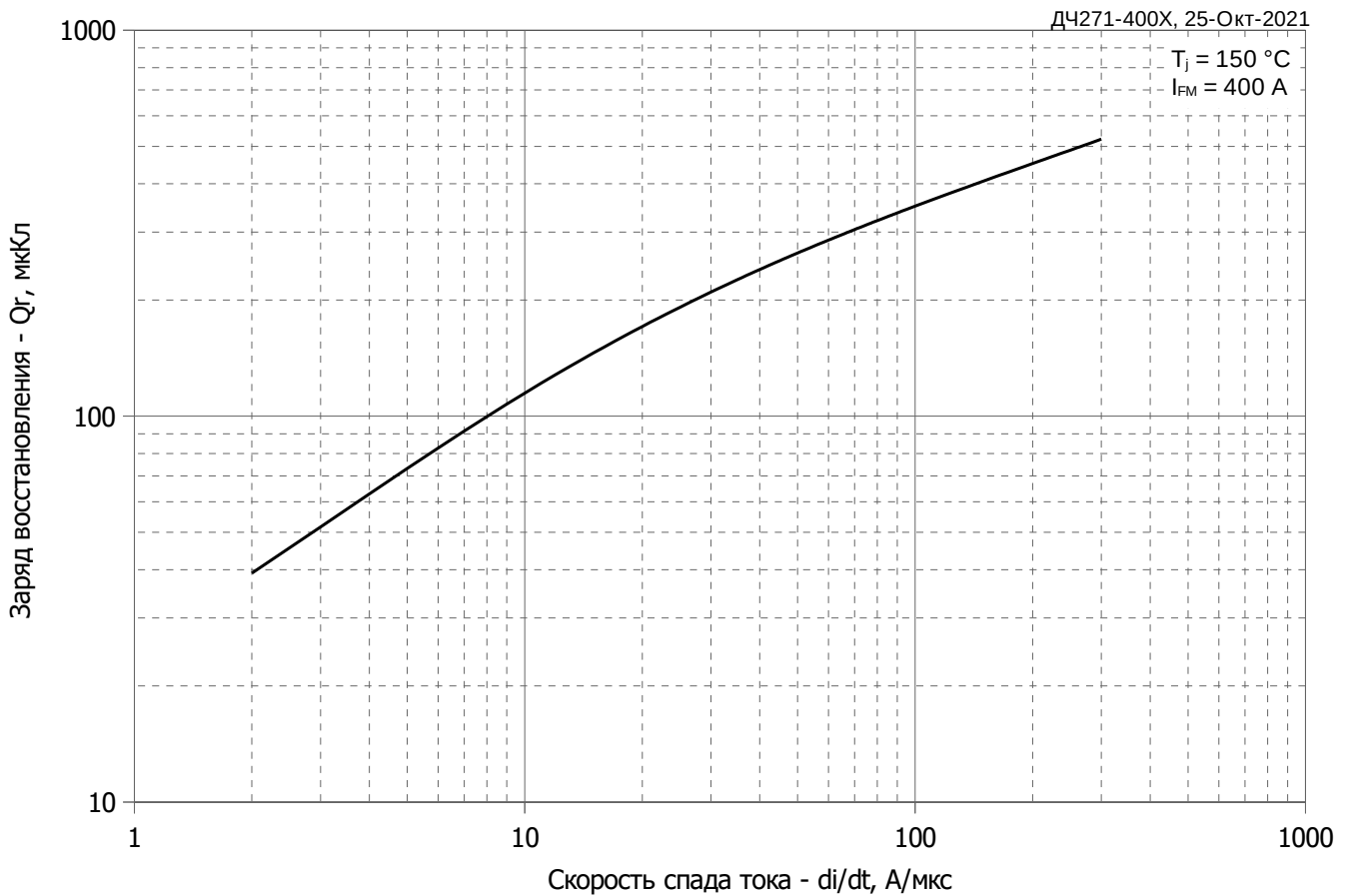


Рис. 4 – Зависимость максимального заряда восстановления Q_r от скорости спада прямого тока di_R/dt (по ГОСТ 24461, хорда 25%)

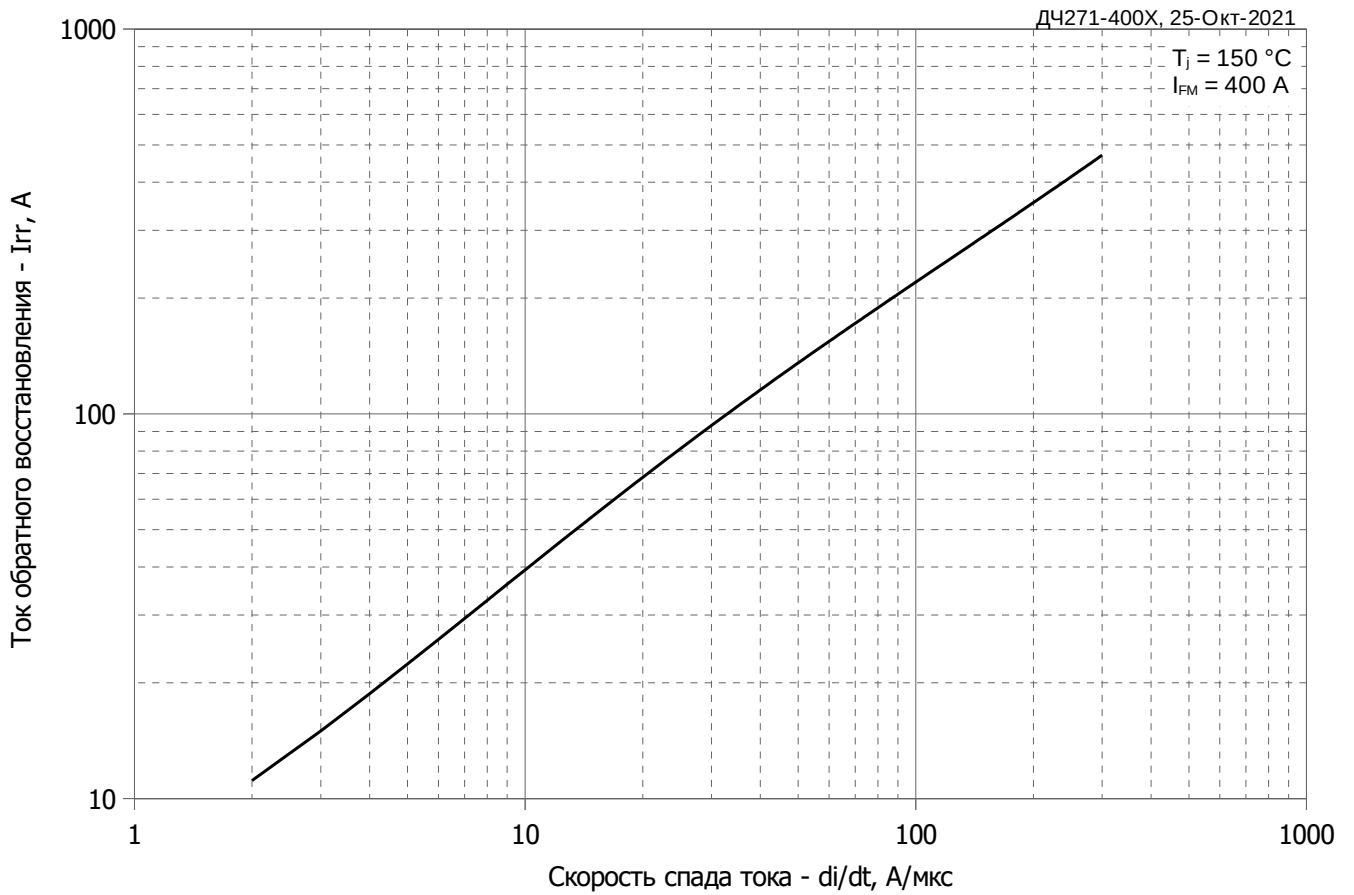


Рис. 5 – Зависимость максимального тока обратного восстановления I_{rr} от скорости спада прямого тока di_R/dt

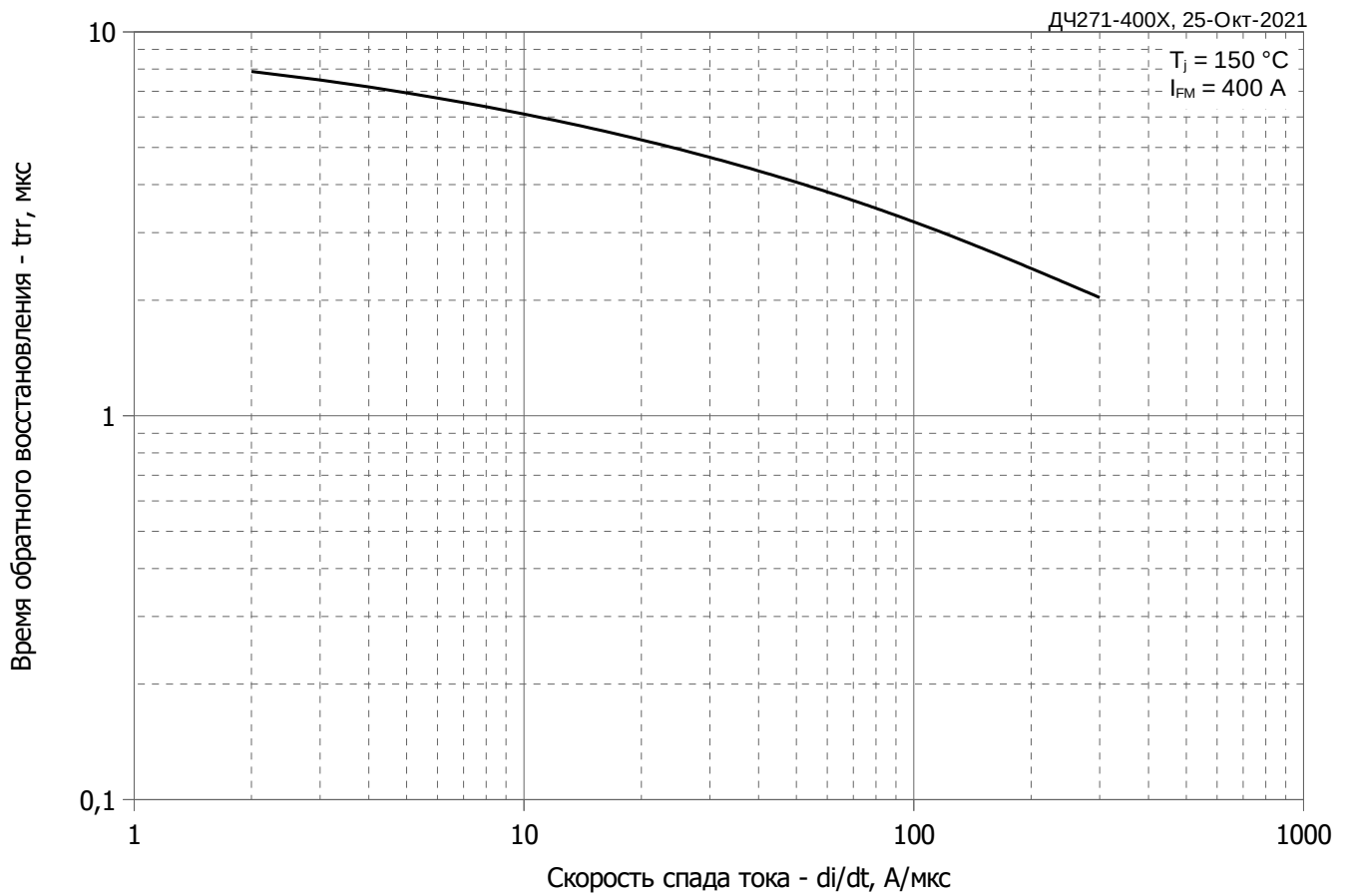


Рис. 6 - Зависимость максимального времени обратного восстановления t_{rr} от скорости спада прямого тока di_R/dt (по ГОСТ 24461, хорда 25%)

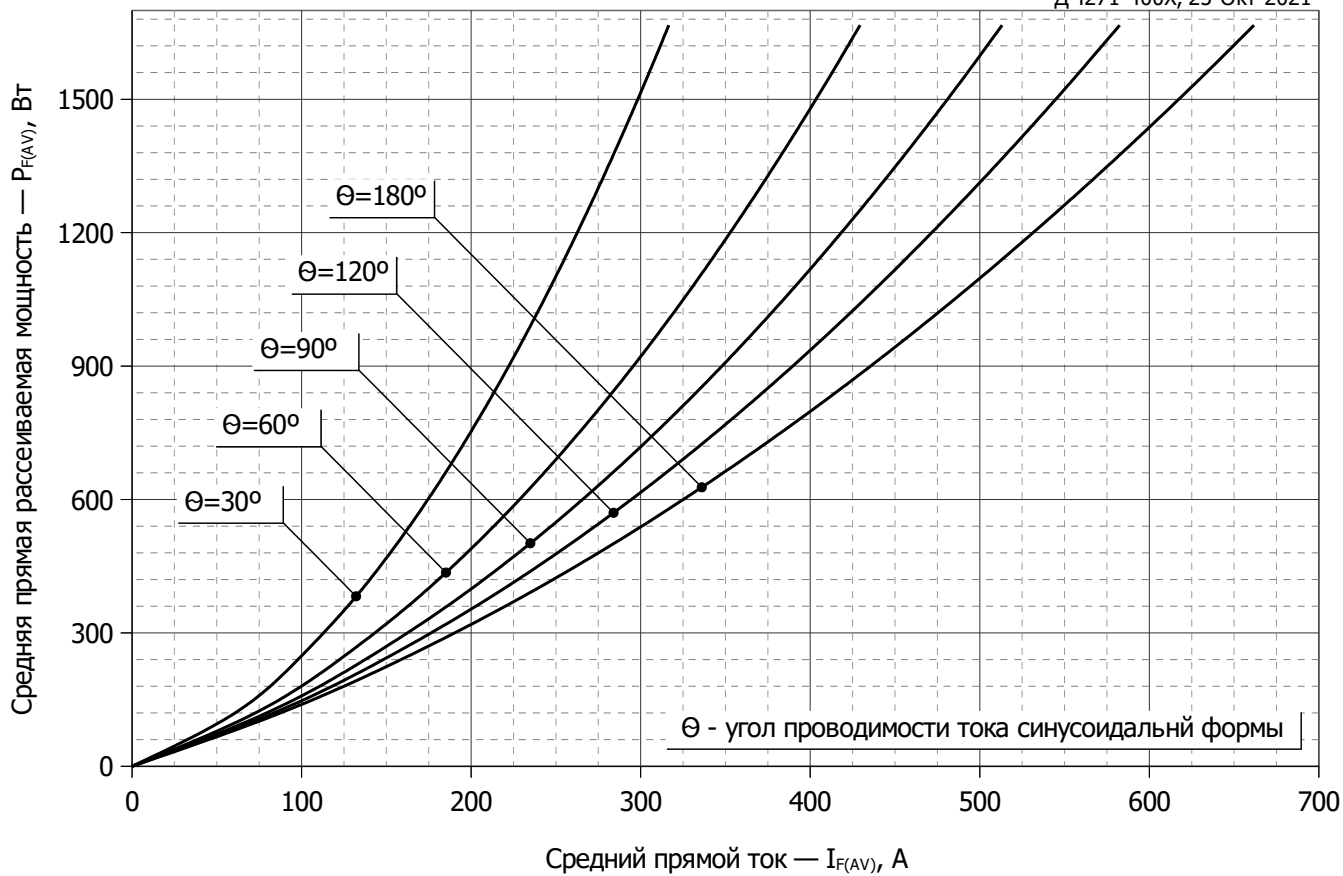


Рис. 7 - Зависимость потерь мощности P_{FAV} от среднего прямого тока I_{FAV} синусоидальной формы при различных углах проводимости ($f=50$ Гц)

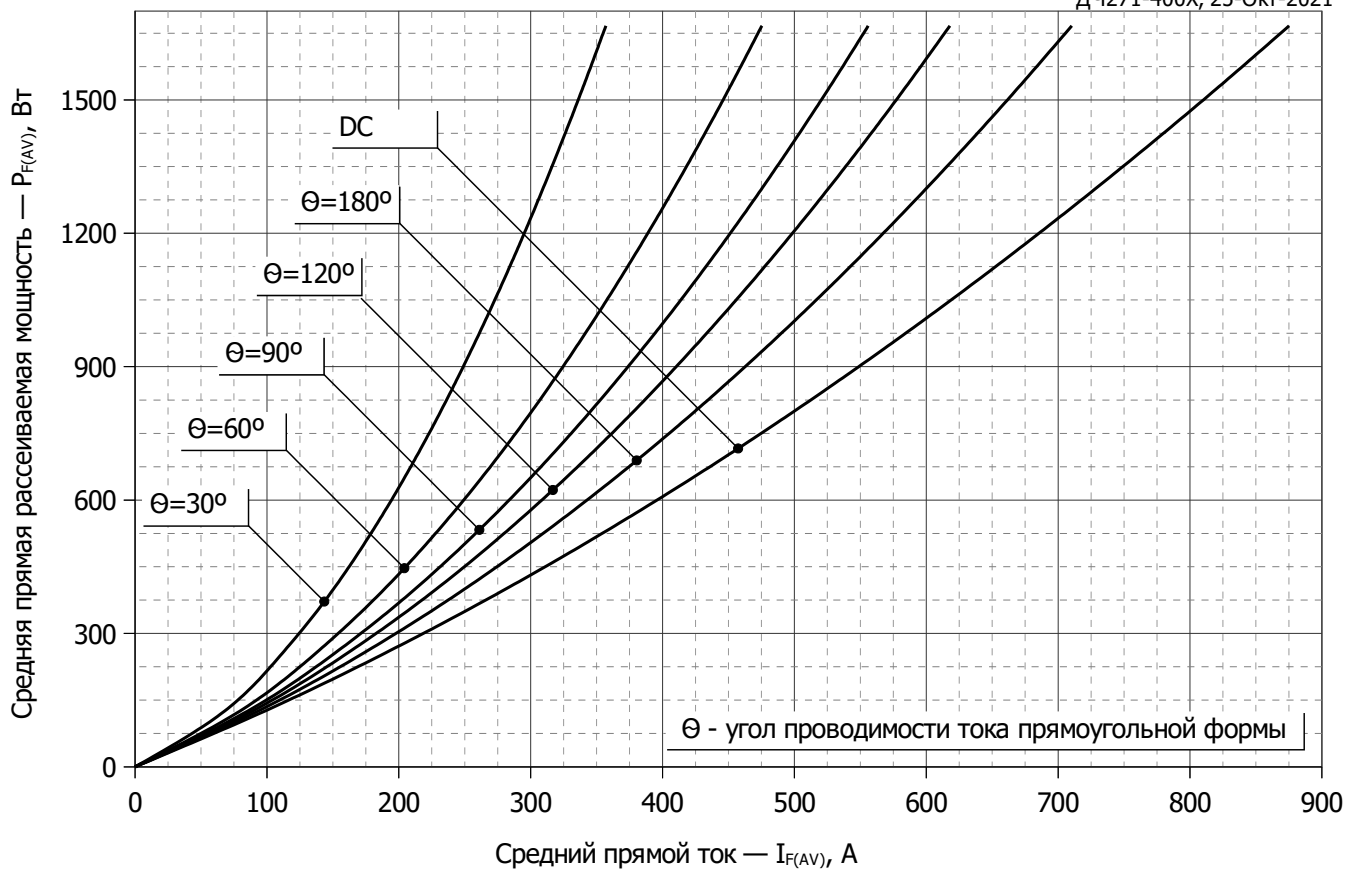


Рис. 8 – Зависимость потерь мощности P_{FAV} от среднего прямого тока I_{FAV} прямоугольной формы при различных углах проводимости ($f=50$ Гц)

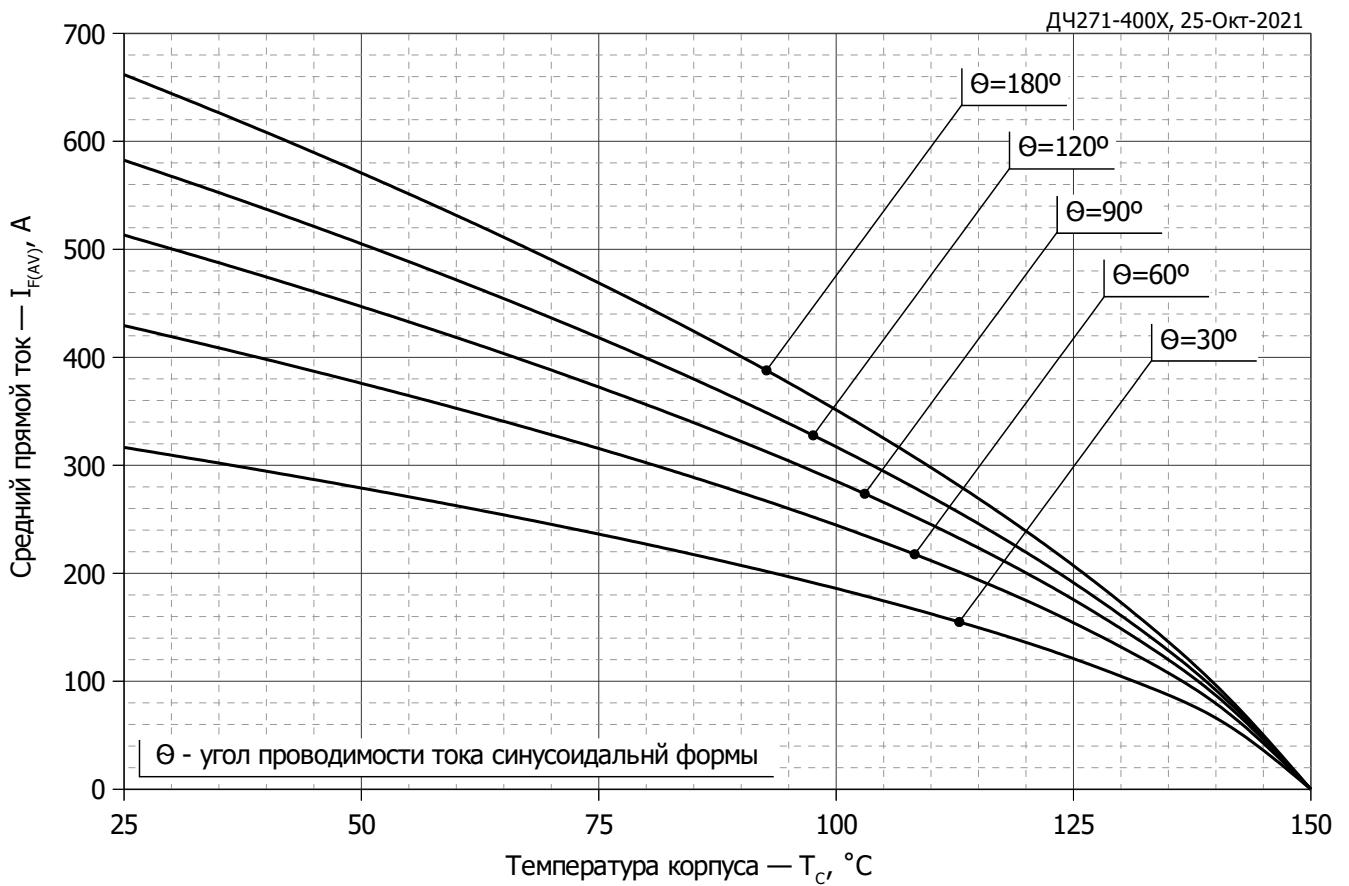


Рис. 9 – Зависимость среднего прямого тока I_{FAV} от температуры корпуса T_c для синусоидальной формы тока при различных углах проводимости ($f=50$ Гц)

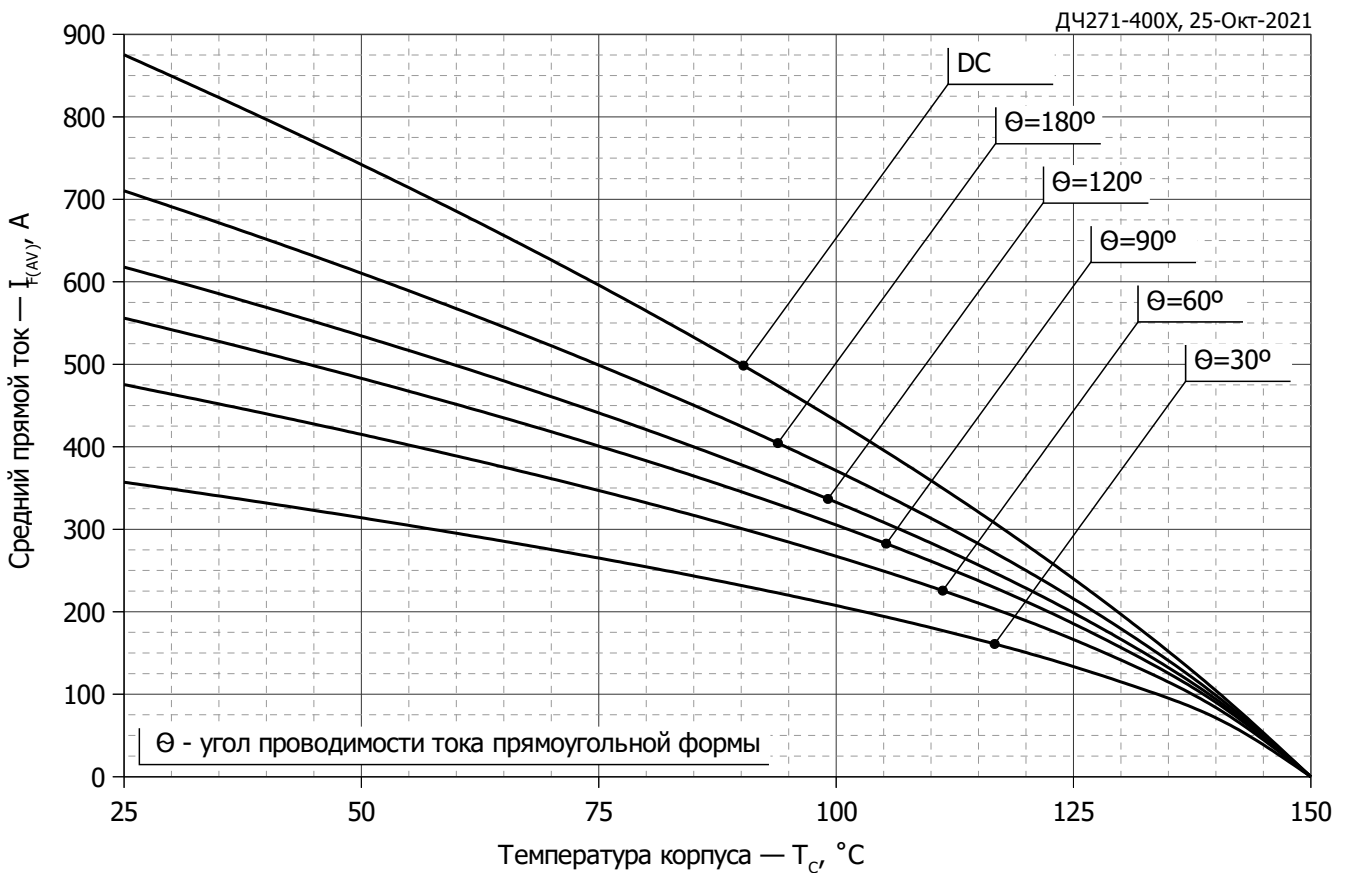


Рис. 10 - Зависимость среднего прямого тока I_{FAV} от температуры корпуса T_c для прямоугольной формы тока при различных углах проводимости ($f=50$ Гц)

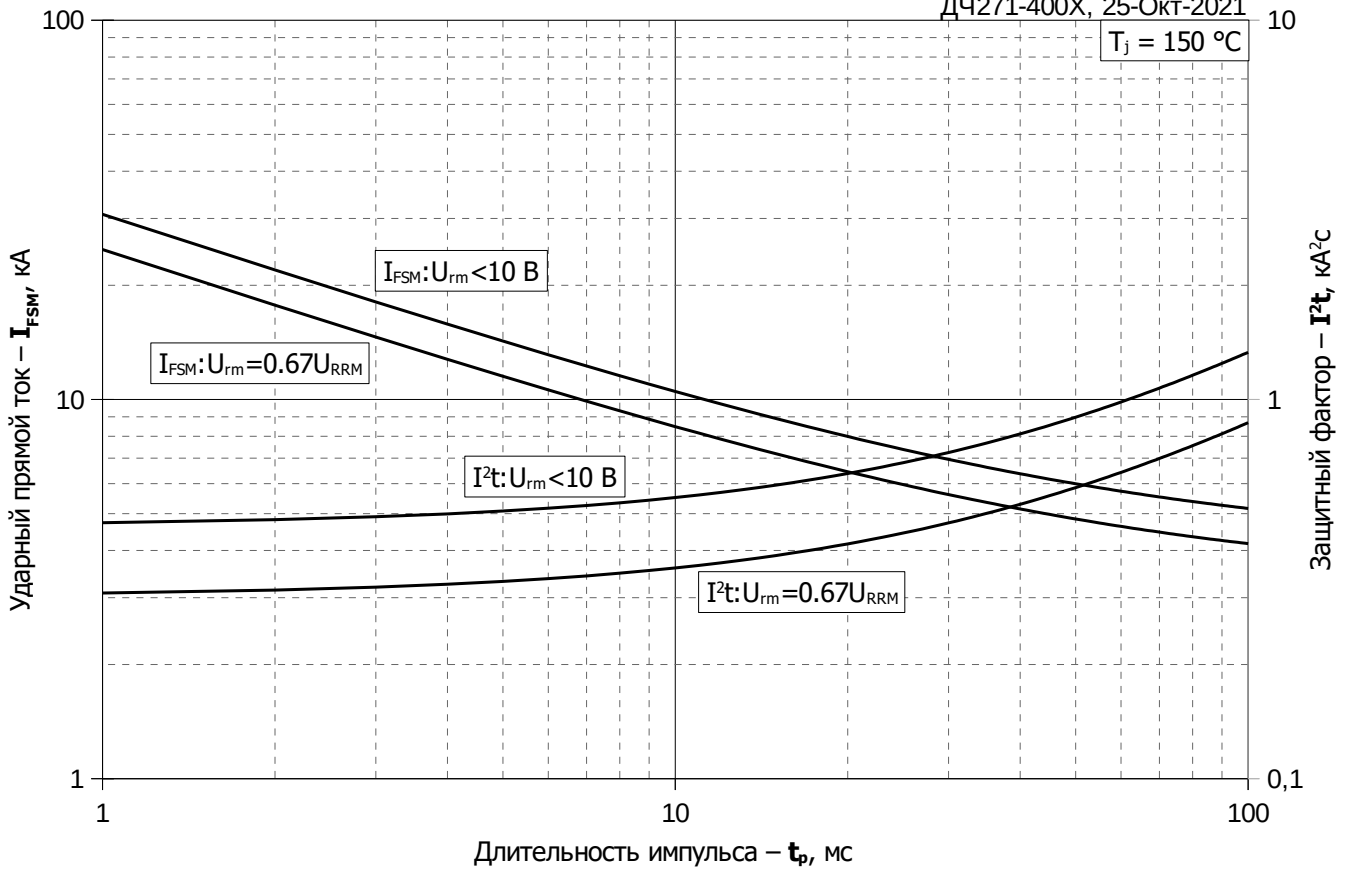


Рис. 11 – Зависимость максимальной амплитуды ударного прямого тока I_{FSM} и защитного фактора I^2t от длительности импульса t_p

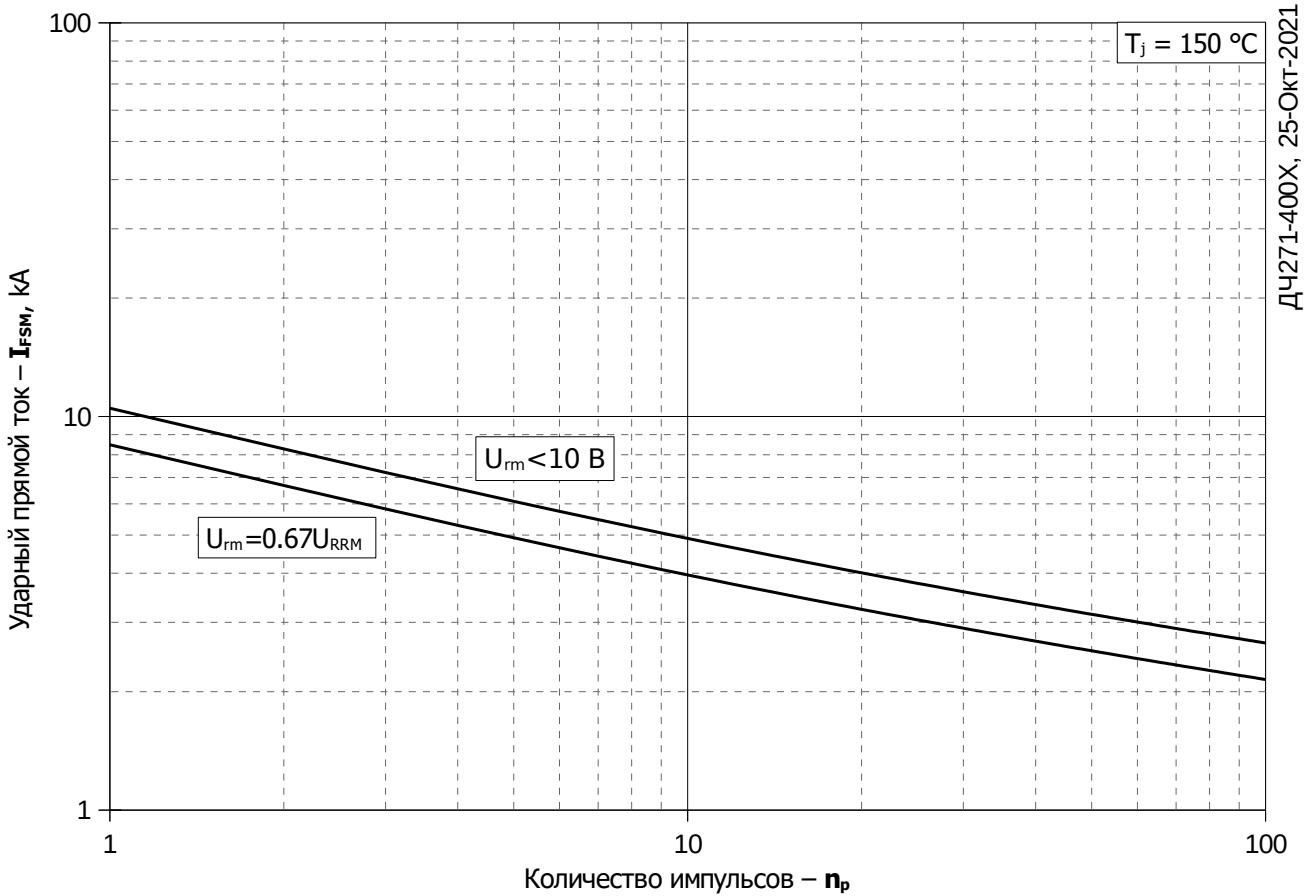


Рис. 12 – Зависимость максимальной амплитуды ударного прямого тока I_{FSM} от количества импульсов n_p